

東亜建設工業(株)

正員 伊藤 裕

建設省土木研究所

正員 龍岡 文夫

応用地質調査事務所(株)

正員 横田耕一郎

1 はじめに

土木研究所ではこれまで搅乱した砂質土の、歪が $10^{-6} \sim 10^2$ の動的変形特性を調べてきたが、今回は新たに不搅乱砂質土の共振法土質試験を行なったので以下にその実験結果を報告する。試料は江東区11号及び14号地の辰巳橋、曙橋付近でサンプリングしたものである。

2 試料採取方法及び実験方法の概略

共振法土質試験機は、下面を固定した中実円筒供試体の上面に強制ねじり振動を発生させて、その共振時の振動数からせん断弾性係数 G を求めるものである。試験中の軸圧は、側圧と独立に偏差応力によつて制御できる機構なので、任意の地中応力状態を再現することが可能である。

3. 試験機の概略を図1に示すが、今回供試体は直径約5cm、高さ約10cmの中

実円筒試料を用いた。試料は改良型ビショップサンプラーを用いて採取しドライアイスで凍結させたものである。試料は凍結後振動を与えないようにして運搬し、冷凍庫に貯蔵した。供試体は実験時に取り出しそばやく所定の長さに鋼鉄製ヤスリとノコギリで成形した後、 -0.3 kN/cm^2 の負圧をかけながら解凍させて寸法を測定し、圧密後実験を行なった。表1、図2にそれぞれ各試料の物理特性、実験条件、粒度分布を示す。各試料の応力条件は、試料採取深度と地下水位から定めた。今回の実験の目的は、不搅乱砂質土の動的せん断弾性係数 G を調べることであり、その結果から後に述べる“B”なる数値の細粒分含有量及び均等係数による影響も考察した。

3 実験結果及び考察

実験は各試料について、供試体セッティング時からの累積圧密時間との異なる所で主として2~3回測定し、歪レベルを数段階に変化させながら歪の歪依存性を調べた。そして曙橋試料では応力条件を2つに分けてその相違を調べた。図3、4に辰巳橋、曙橋の各試料の ϵ_1 へ ϵ 曲線を示す。両図とも多少のばらつきはあるが、辰巳橋、曙橋の2つの試料において、各々の ϵ_1 の歪依存性は応力条件（主応力比 $\sigma_{\text{fr}} = 1.0$ 及び 2.0）が同じであればほぼ同一の傾向を示し、 ϵ_1 の歪依存性は歪が 10^4 附近からかなり大きくなる。しかも応力条件が一定であれば、 ϵ_1 の歪依存性は試験開始時からの累積圧密時間によって異なることがわかる。これは図2の粒度分布で明らかのように、各試料が砂質土のために圧密が短時間で終了するからである。また図4におい

表-1 試料の物理的性質及び実験条件

試料名	採取深度 (m)	地盤	G_s	D_w (mm)	D_{10} (mm)	D_{30} (mm)	D_{60} (mm)	D_{100} (mm)	η_{G}	η_{G} (有効歪)	η_{G} (初期歪)	c_u	c_d	W_{w} (%)	r_{fr}	σ_{fr} (kN/cm^2)	σ_{fr} (kN/cm^2)	ρ (kg/m^3)	$B_{\text{fr}} \cdot 10^{-4}$	$B_{\text{fr}} \cdot 10^{-4}$
試料 1	10.0~10.8	冲積砂層	2640	0.094	0.14	0.15	1.60	5.00	0.85	0.872	0.832	3.30	1.893	1.163	0.550	0.754	0.804	0.780		
試料 2	10.0~10.8	"	2710	0.092	0.14	0.15	1.90	5.02	1.67	0.938	0.892	3.46	1.904	1.105	0.550	0.735	0.810	0.894		
曙 1	11.9~12.6	"	2660	0.0435	0.10	0.12	2.76	3.027	5.55	0.991	0.893	3.71	1.876	1.266	0.625	0.839	0.826	0.873		
曙 2	12.4~12.7	"	2712	0.041	0.086	0.077	1.88	5.882	2.16	0.967	0.893	3.68	1.883	0.93	0.83	0.799	0.751			
曙 3	12.4~12.7	"	2630	0.046	0.097	0.115	2.50	3.490	0.42	0.960	0.910	3.58	1.853	0.83	0.83	0.842	0.736			

注：1) 供試孔径全長5 cm、高さ10 cm半実験孔。

2) η_{G} は前開隙比、 η_{G} は解体時の開隙比。 W_{w} は含水率、 r_{fr} は解体時の単位体積重量。

$$3) p = \frac{1}{3} (\sigma_x + 2\sigma_z)$$

$$4) B_{\text{fr}} = \frac{1}{12} \left(\frac{1 - \frac{1}{e^{1-\frac{p}{p_{\text{fr}}}}}}{\left(\frac{2.17 - e^{-\frac{p}{p_{\text{fr}}}}}{1 + e^{-\frac{p}{p_{\text{fr}}}}} \right)^2} \right) \cdot B_{\text{fr}, \text{ref}} = \frac{\left(r = 10^{-4} \text{ での } G \text{ の測定値} \right)}{\left(r = 7.00 \cdot \frac{(2.17 - e^{-\frac{p}{p_{\text{fr}}}})^2}{1 + e^{-\frac{p}{p_{\text{fr}}}}} \right)^2}$$

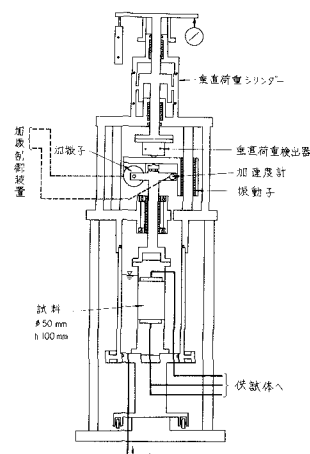


図-1 共振法土質試験機

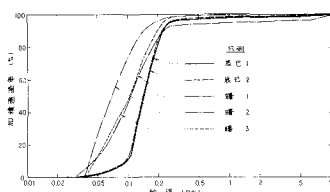


図-2 粒度分布

図3、4に辰巳橋、曙橋の各試料の ϵ_1 へ ϵ 曲線を示す。両図とも多少のばらつきはあるが、辰巳橋、曙橋の2つの試料において、各々の ϵ_1 の歪依存性は応力条件（主応力比 $\sigma_{\text{fr}} = 1.0$ 及び 2.0）が同じであればほぼ同一の傾向を示し、 ϵ_1 の歪依存性は歪が 10^4 附近からかなり大きくなる。しかも応力条件が一定であれば、 ϵ_1 の歪依存性は試験開始時からの累積圧密時間によって異なることがある。これは図2の粒度分布で明らかのように、各試料が砂質土のために圧密が短時間で終了するからである。また図4におい

く、2種類に応力条件を変えて実験を行なった暗橋試料では、平均主応力 P はほぼ同じにもかかわらず主応力比によって G の歪依存性ははっきり分かれている。しかもその G の歪依存性におよぼす主応力比の影響は、歪レベルが小さい所ほど顕著であり、歪が 10^{-3} 付近ではほとんどなくないところ。これは地盤中応力状態が異方であつたものを等方で試験を行なつたために乱れが生じたのかかもしれない。

図5、6において“B”なる値は、図3、4より歪が 10^{-5} 及び 10^{-4} の各試料についての G の値を読みとり、次のように定義したものである。

$$B_{r=10^{-5}} = \frac{r=10^{-5} \text{ での } G \text{ の測定値}}{G^* = 850 \frac{(2.17-e)^2}{1+e} P^{0.44}} \quad (1)$$

$$B_{r=10^{-4}} = \frac{r=10^{-4} \text{ での } G \text{ の測定値}}{G^* = 700 \frac{(2.17-e)^2}{1+e} P^{0.5}} \quad (2)$$

これは間隙比 e と平均主応力 P の変化の影響を消却するためであり、式(1)、(2)の分母の G^* は各種のきれいな砂の共振法土質試験機によって歪が 10^{-5} 、 10^{-4} について成り立つことが確かめられていくものである。

図5では“B”を縦軸に、細粒分(74 μ 以下)含有量(%)を横軸にとつて、各試料についてプロットしたものである。

$r=10^{-4}$ についての“B”的値は表1で示すように $0.736 \sim 0.894$ 、 $r=10^{-5}$ では“B”的値は $0.799 \sim 0.910$ であり、“B”的値の変動は少なく、“B”は細粒分含有量によつてあまり影響を受けないといつてさしつかえない。図6では“B”を縦軸に、均等係数 U_c を横軸にとつて各試料についてプロットしたものである。図中の斜線部分は、搅乱した自然砂の範囲であり、実験した試料もほぼこの範囲に含まれてゐる。このことから均等係数が小さい冲積砂質土では不搅乱のものでも搅乱したものでも G の相対的な変動はあまり変わりがないものといえよう。

4 まとめ

- (1) G の歪依存性は応力条件が同じであれば、ほぼ同一の傾向を示す。
- (2) G の歪依存性は応力条件が一定であれば、累積圧密時間によらない。
- (3) “B”は細粒分含有量にあまり影響を受けない。
- (4) 均等係数が小さい砂質土では、不搅乱のものでも搅乱したものでも G の相対的な変動はあまり変わりがない。

実験は目下継続中であり、現地盤のPS換算による G との比較は当日発表する。

尚、本実験において御指導をいたいた振動研究室長岩崎敏男氏、実験、解析を手伝つてもらつた吉田精一氏、並びに試料採取その他で御世話をなつた関東地建川崎国道の皆様に未筆ながら感謝の意を表します。

5 参考文献

- 1) 土と基礎(1976年、No.4)
- 2) “砂のセシ断変形係数に及ぼす粒度分布特性等の影響” 第11回国土質工学会発表会

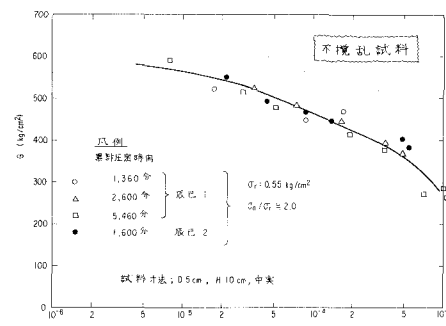


図-3 G ~ r 曲線(辰巳試料)

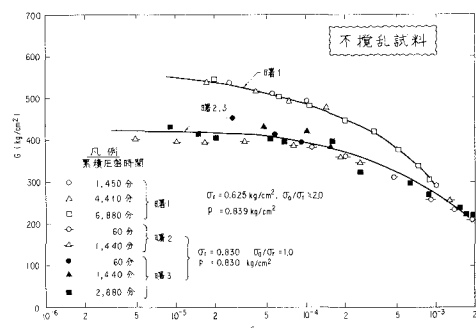


図-4 G ~ r 曲線(暗試料)

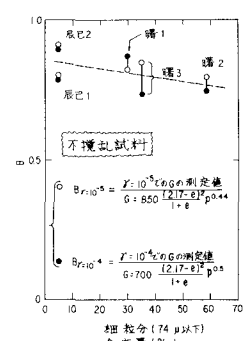


図-5

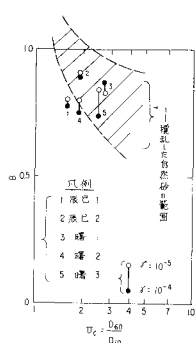


図-6